

## ЛИТЕРАТУРА

1. Veronis G. Large amplitude Benard convection in a rotating fluid // J. Fluid Mech.— 1968.— V. 31, N 1.
2. Герценштейн С. Я., Шмидт В. М. Нелинейное развитие и взаимодействие возмущений конечной амплитуды при конвективной неустойчивости вращающегося плоского слоя // ДАН СССР.— 1975.— Т. 225, № 1.
3. Герценштейн С. Я., Шмидт В. М. Нелинейное взаимодействие конвективных волновых движений и возникновение турбулентности во вращающемся горизонтальном слое // Изв. АН СССР. МЖГ.— 1977.— № 2.
4. Гершуни Г. З., Жуховицкий Е. М. Конвективная устойчивость несжимаемой жидкости.— М.: Наука, 1972.
5. Беляев Ю. Н., Яворская И. М. Конвективные течения во вращающихся сферических слоях // Итоги науки и техники. Механика жидкости и газа.— 1982.— Т. 17.
6. Петровская Н. В., Юдович В. И. Вторичные стационарные и периодические режимы конвекции во вращающемся слое со свободными недеформируемыми границами // Задачи гидромеханики и теплообмена со свободными границами.— Новосибирск: НГУ, 1987.
7. Chandrasekhar S. The instability of a layer of fluid heated below and subject to Coriolis forces // Proc. Roy. Soc. London.— 1953.— V. A217, N 1130.
8. Петровская Н. В., Фадеев А. К., Юдович В. И. Численное исследование конвекции во вращающемся слое.— Ростов н/Д, 1987.— Деп. в ВИНТИ 11.02.87, N 996-B87.
9. Петровская Н. В. О применении метода Галеркина к исследованию переходов в задаче рэлеевской конвекции // Изв. АН СССР. МЖГ.— 1984.— № 2.

г. Ростов-на-Дону

Поступила 17/VII 1989 г.

УДК 533.6.01

Н. Ж. Джайчибеков, С. К. Матвеев

### ПРИМЕНЕНИЕ ТРЕХКОМПОНЕНТНОЙ МОДЕЛИ К РАСЧЕТУ ОБТЕКАНИЯ ТЕЛ ГАЗОВЗВЕСЬЮ И РАЗРЕЖЕННЫМ ГАЗОМ

Для описания задачи обтекания тел газозвесью (газом с твердыми частицами) в [1] предложена четырехкомпонентная модель. Газозвесь представляется смесью четырех компонентов: несущего газа и трех сортов частиц — не претерпевших столкновений падающих  $s$ -частиц, упорядоченно движущихся отраженных  $r$ - и хаотически движущихся  $t$ -частиц. Предполагается, что любые две столкнувшиеся частицы (учитываются только парные столкновения) оказываются в сорте  $t$ . Частицы считаются одинаковыми сферами, диаметр которых  $d_0$  много меньше характерного размера тела, а плотность  $\rho_0$  много больше плотности газа. Функция распределения  $t$ -частиц по скоростям полагается близкой к максвелловской и для  $t$ -компонента используются некоторые результаты кинетической теории, полученные для газа, состоящего из сферических молекул. При этом пренебрегается влиянием сопротивления несущего газа и возможной неупругости столкновений на вид формул для потоков массы, импульса и энергии. Эти факторы учитываются при вычислении кинетической энергии хаотического движения частиц  $U_t$ , определяемой из уравнения баланса, в котором присутствуют члены, описывающие диссипацию этой энергии вследствие указанных причин.

Перечисленные предположения, подробно обсужденные в [1], не имеют строгого обоснования, однако они позволили построить довольно простую модель газозвеси, учитывающую хаотическое движение частиц и, как показало сравнение расчетов [2] с экспериментальными данными [3], правильно описывающую экранирующее влияние отраженных частиц.

Практическая реализация этой модели весьма сложна. Однако в ряде случаев нет надобности использовать модель в полном объеме и хаотическое движение частиц можно учесть в рамках более простых моделей среды. Так, в [4] решается задача обтекания сферы газозвесью на основе трехкомпонентной модели, где  $r$ - и  $t$ -компоненты объединены. Это условие выполняется, например, когда поверхность тела имеет шероховатость, соизмеримую с размером частиц.

В данной работе изучается случай, когда влиянием газа на движение частиц можно пренебречь. Такие условия реализуются в экспериментах, где длина скоростной релаксации частиц много больше характерного размера тела [3, 5], и можно рассматривать обтекание тел потоком твердых частиц (без учета несущей фазы). Если принять также, что газ из  $t$ -частиц невязкий и нетеплопроводный, то балансовые уравнения можно записать

в следующем виде:

$$\begin{aligned} \partial \rho_i / \partial t + \operatorname{div} (\rho_i \mathbf{v}_i) &= J_i \quad (i = s, r, t); \\ \rho_t \partial \mathbf{v}_t / \partial t + \rho_t (\mathbf{v}_t \cdot \nabla) \mathbf{v}_t &= -\nabla p_t - J_s (\mathbf{v}_s - \mathbf{v}_t) - J_r (\mathbf{v}_r - \mathbf{v}_t); \\ \rho_t \partial U_t / \partial t + \rho_t (\mathbf{v}_t \cdot \nabla) U_t &= -p_t \operatorname{div} \mathbf{v}_t - J_t U_t - J_s (\mathbf{v}_s - \mathbf{v}_t)^2 / 2 - \\ &- J_r (\mathbf{v}_r - \mathbf{v}_t)^2 / 2 - \eta (I_{rs} \langle v_{rs}^2 \rangle + I_{st} \langle v_{st}^2 \rangle + I_{rt} \langle v_{rt}^2 \rangle) / 4 - \Delta_{tt} \end{aligned}$$

( $\rho_i$ ,  $\mathbf{v}_i$  — плотность и скорость соответствующих компонентов,  $p_t$  — давление хаотически движущихся частиц). Интенсивность массообмена между компонентами смеси  $J_i$  определяется в соответствии с принятым правилом зачисления в сорт  $t$  столкнувшихся частиц:

$$\begin{aligned} J_t &= -J_s - J_r, \quad J_s = -I_{sr} - I_{st}, \quad J_r = -I_{rs} - I_{rt}, \\ I_{ij} &= 6\rho_i \rho_j \langle v_{ij} \rangle / (\rho_0 d_0). \end{aligned}$$

Здесь  $\langle v_{ij} \rangle$  — средний модуль относительной скорости сталкивающихся частиц;  $\Delta_{tt}$  — диссипация энергии хаотического движения  $t$ -частиц вследствие неполной упругости столкновений между собой, вычисляемая по формуле

$$\Delta_{tt} = 32\rho_t^2 \eta U^{3/2} / (\sqrt{6\pi} d_0 \rho_0),$$

где  $\eta$  — коэффициент, характеризующий упругость частиц ( $\eta = 0$  — абсолютная упругость,  $\eta = 1$  — абсолютная неупругость). Члены с множителем  $\eta$  в последнем уравнении описывают переход кинетической энергии частиц в тепло,  $\langle v_{ij}^2 \rangle$  — средний квадрат относительной скорости сталкивающихся частиц.

Давление газа  $t$ -частиц находится из уравнения состояния

$$p_t = (\kappa_t - 1) \rho_t U_t$$

( $\kappa_t = 5/3$  для невращающихся частиц или  $\kappa_t = 4/3$ , если учитывается их хаотическое вращение). Для определения  $\langle v_{ij} \rangle$  и  $\langle v_{ij}^2 \rangle$  используются формулы кинетической теории, как для газа из твердых сфер, а  $\eta$  находится эмпирически. Уравнений для нахождения  $\mathbf{v}_s$  и  $\mathbf{v}_r$  не требуется, поскольку в рассматриваемых условиях скорости  $s$ - и  $r$ -частиц вдоль траекторий не меняются.

На основе этой модели проведены расчеты осесимметричного обтекания сферы потоком твердых частиц. Закон отражения частиц от поверхности принимался зеркальным (что согласуется с предположением о невязком газе  $t$ -частиц), причем  $s$ -частицы переходят в сорт  $r$ , а для газа  $t$ -частиц на поверхности ставится условие непротекания.

Если записать приведенные уравнения в безразмерном виде, относя плотности частиц к  $\rho_{s\infty}$  (индексом  $\infty$  отмечены параметры на бесконечности), скорости к  $u_{s\infty}$  ( $u_s$  — проекция  $\mathbf{v}_s$  на ось  $Ox$ , которая направлена вдоль осп симметрии), давление к  $\rho_{s\infty} u_{s\infty}^2$ , а за характерный размер взять радиус сферы (при этом вид уравнений сохранится), то задача будет зависеть только от  $\eta$ ,  $\kappa_t$  и  $\operatorname{Kn} = d_0 / (6\alpha_{s\infty})$ , где  $\alpha_{s\infty} = \rho_{s\infty} / \rho_0$  — объемная концентрация  $s$ -частиц. К примеру, столкновительные члены будут иметь вид

$$\begin{aligned} I_{st} &= \rho_s \rho_t \langle v_{st} \rangle / \operatorname{Kn}, \quad I_{rt} = \rho_r \rho_t \langle v_{rt} \rangle / \operatorname{Kn}, \\ \Delta_{tt} &= 16\eta \rho_t^2 U^{3/2} / (3\sqrt{6\pi} \operatorname{Kn}). \end{aligned}$$

Здесь  $\operatorname{Kn}$  — аналог числа Кнудсена в динамике разреженного газа. Рассматриваемый случай отсутствия в невозмущенном потоке хаотического движения частиц ( $\rho_{t\infty} = 0$ ) аналогичен предельному гиперзвуковому ( $M \rightarrow \infty$ ) обтеканию тела газом и потому в перечне определяющих параметров отсутствует аналог числа Маха.

Обтекание сферы рассчитывалось методом С. К. Годунова [6]. На толщину ударного слоя приходилось 10 ячеек сетки, что обеспечивало точность, достаточную для приводимого ниже качественного анализа.

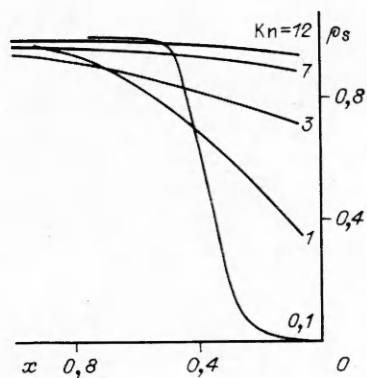


Рис. 1

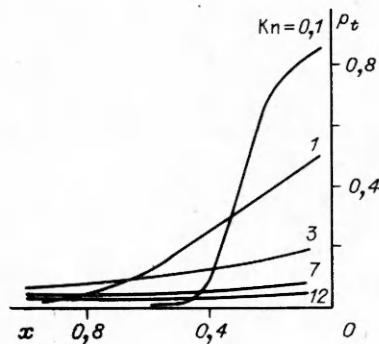


Рис. 2

На рис. 1 изображены кривые падения концентрации  $s$ -частиц с приближением к поверхности сферы для различных  $Kn$  (ось  $Ox$  направлена от лобовой точки в сторону, противоположную направлению основного потока). Здесь и в дальнейшем принято  $\eta = 0$ ,  $\kappa_t = 5/3$ . Рассмотренный диапазон  $Kn$  соответствует переходному режиму от потока частиц с полной хаотизацией перед телом к потоку одиночных частиц, подобно переходному режиму в динамике разреженного газа. При больших  $Kn$  плотность частиц основного потока мало изменяется с приближением к поверхности тела. С уменьшением же  $Kn$  все меньше  $s$ -частиц достигает поверхности, что связано с увеличением частоты столкновений между частицами. Так, при  $Kn = 0,1$   $s$ -частицы практически не долетают до поверхности. Это значение можно считать предельным, ниже которого имеет место режим обтекания с плотным экранирующим слоем отраженных частиц перед телом. Давление в таком газе  $t$ -частиц вблизи тела больше, чем при  $Kn > 0,1$  (рис. 2). Зона распространения хаотизированных частиц располагается в непосредственной близости от тела, образуя некий ударный слой. С ростом  $Kn$  частота столкновения частиц уменьшается, ударный слой становится толще, а давление  $t$ -частиц вблизи поверхности падает.

На рис. 3 приведены кривые распределения концентрации  $t$ -частиц на поверхности сферы от лобовой точки до миделя для соответствующих  $Kn$ . Для всех режимов характерно наличие высокой концентрации  $t$ -частиц вблизи лобовой точки.

На рис. 4 дана кривая зависимости коэффициента сопротивления  $c_x$  от числа  $Kn$ , где  $c_x$  вычислен по суммарному импульсу  $s$ - и  $t$ -частиц. С увеличением  $Kn$   $c_x \rightarrow 2$ , что отвечает случаю, когда все  $s$ -частицы достигают поверхности без столкновений, а при  $Kn \rightarrow 0$  результат близок к  $c_x = 0,88$ , что получается по модифицированной теории Ньютона при  $M \rightarrow \infty$ .

Качественная картина обтекания сферы потоком упругих частиц близка к картине обтекания сферы разреженным газом, причем принятая

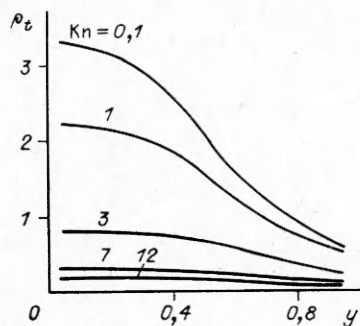


Рис. 3

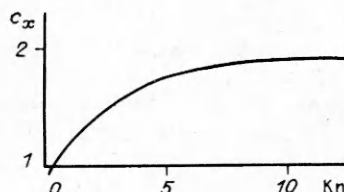


Рис. 4

модель позволяет рассчитывать обтекание при  $Kn$ , соответствующих переходному режиму. Это дает основание ожидать, что приведенная трехкомпонентная модель может быть применена для приближенного расчета обтекания тел разреженным газом в переходном режиме. Для этого необходимо использовать более реалистичные законы взаимодействия частиц с поверхностью и учет вязкости  $t$ -компонента. Кроме того, для возможности изменять число Маха потребуется ввести хаотическое движение частиц в невозмущенном потоке, поскольку в приведенной модели поток  $s$ -частиц отвечает предельному гиперзвуковому случаю  $M \rightarrow \infty$ .

#### ЛИТЕРАТУРА

1. Матвеев С. К. Математическое описание обтекания тел потоком газозвеси с учетом влияния отраженных частиц // Газодинамика и теплообмен: Межвуз. сб./Ленингр. гос. ун-т.— 1982.— Вып. 7.
2. Джайчибеков Н. Ж., Матвеев С. К. Расчет обтекания тел потоком твердых частиц // Вестн. ЛГУ. Математика, механика, астрономия.— 1986.— № 1.
3. Баланин Б. А. О влиянии отраженных частиц на унос массы при обтекании тела двухфазным потоком // Изв. АН СССР. МЖГ.— 1984.— № 5.
4. Джайчибеков Н. Ж., Матвеев С. К. Расчет обтекания сферы газозвесью на основе трехкомпонентной модели двухфазной среды // Вестн. ЛГУ. Математика, механика, астрономия.— 1985.— № 22.
5. Баланин Б. А., Лашков В. А. Сопротивление плоского клина в двухфазном потоке // Изв. АН СССР. МЖГ.— 1982.— № 2.
6. Годунов С. К., Забродин А. В., Иванов М. Я. и др. Численное решение многомерных задач газовой динамики.— М.: Наука, 1976.

г. Караганда, г. Ленинград

Поступила 28/III 1989 г.,  
в окончательном варианте — 20/VII 1989 г.

УДК 532.526

А. В. Солдаткин

### НЕАВТОМОДЕЛЬНАЯ СТРУЯ НЕНЬЮТОНОВСКОЙ ЖИДКОСТИ

Приведены результаты анализа распространения плоской затопленной струи неньютоновской жидкости во всей зоне развития в рамках теории пограничного слоя.

Струйные течения встречаются во многих технологических приложениях. Актуальность анализа струйных неньютоновских течений определяется, в частности, развитием области применения полимеров. Кроме того, не следует забывать об аналогии при изменении интегральных гидродинамических параметров между турбулентным течением и неньютоновской жидкостью.

Ранее получено автомодельное решение для плоской струи неньютоновской жидкости [1]. Ниже исследуется развитие плоской струи неньютоновской жидкости во всей области распространения с помощью численного расчета и метода локального подобия. Для аппроксимации реологии течения используется модель Оствальда — де Вилля. Практическое использование этой модели оправдано во многих реальных течениях, например при течении полимера.

Исходные уравнения переноса импульса и неразрывности затопленной плоской струи неньютоновской жидкости имеют вид

$$u \frac{\partial u}{\partial x} + v \frac{\partial u}{\partial y} = m \frac{\partial}{\partial y} \left( \left| \frac{\partial u}{\partial y} \right|^{N-1} \frac{\partial u}{\partial y} \right), \quad \frac{\partial u}{\partial x} + \frac{\partial v}{\partial y} = 0.$$

Граничные условия для струйного течения  $\partial u / \partial y = 0$ ,  $v = 0$ ,  $y = 0$ ,  $x > 0$ ,  $u \rightarrow 0$ ,  $y \rightarrow \infty$ . Начальные условия  $u = 1$ ,  $x = 0$ ,  $|y| < d/2$ ,  $u = 0$ ,  $|y| \geq d/2$ .

Наличие интегрального инварианта (импульса струи) позволяет ввести удобную для численного счета замену переменных [2]

$$\xi = x, \quad \eta = \int_0^y u^2 dy.$$